

## О свойствах волн Кельвина на сетке\*

С. В. Смирнов

*Институт автоматизи и процессов управления ДВО РАН,  
Владивосток, Россия  
e-mail: smirnoff@iacp.dvo.ru*

The effects of a space grid approximation on free Kelvin waves are investigated using the  $f$ -plane shallow-water equations with the Arakawa  $B$ -grids and the free-slip boundary condition on a wall.

### Введение

Для решения задач динамики Мирового океана широко применяются математические модели, сформулированные на базе полных уравнений гидротермодинамики. Такие модели описывают широкий спектр движений — баротропные и бароклинные волны Россби, инерционно-гравитационные волны, экваториальные и береговые волны Кельвина и др. Чаще всего модельное решение может быть найдено только приближенно, путем замены исходной дифференциальной системы уравнений некоторым конечно-мерным аналогом [1], и важную роль играет, в частности, анализ разностной схемы с точки зрения воспроизведения конкретных физических процессов. Во многих работах анализ разностных схем проводят в рамках уравнений мелкой воды [2–4]. Результаты, полученные для системы уравнений мелкой воды, применимы к баротропной (внешней) моде и к бароклиненным (внутренним) модам волн в стратифицированном океане, когда горизонтальный масштаб велик по сравнению с вертикальным [5].

В данной работе анализируется воспроизведение береговых волн Кельвина на прямоугольной сетке типа  $B$  [2] (рис. 1,  $a$ ) с условиями “свободного скольжения” на стенке. Для системы дифференциально-разностных уравнений, представляющих собой пространственную разностную аппроксимацию линейных уравнений мелкой воды, строятся аналитические решения типа захваченных волн и исследуются зависимости решений от сеточных параметров. Сетка  $B$  применяется во многих численных моделях, например, в [6, 7]. Отметим, что бароклинные волны Кельвина [5] играют важную роль в динамике примыкающих к материковому склону областей океана. Волны Кельвина принадлежат к типу волн, захваченных вращением Земли у вертикальной стенки, и обладают следующими отличительными свойствами: амплитуда экспоненциально убывает при удалении от стенки с характерным масштабом, называемым радиусом деформации Россби; нормальная к стенке составляющая скорости — поперечная компонента — равна нулю, составляющая скорости по направлению вдоль берега — продольная компонента — находится в геострофическом равновесии. Результаты анализа для случая одномерной пространственной дискретизации изложены в работе [4], где решения получены в

---

\*Работа выполнена при финансовой поддержке Российского фонда фундаментальных исследований (грант № 06-01-96020) и Президиума РАН (программа № 14).

© Институт вычислительных технологий Сибирского отделения Российской академии наук, 2008.

предположении о геострофическом равновесии для продольной компоненты скорости и показано, что качество описания волн Кельвина в значительной мере зависит от типа сетки, краевых условий и шага сетки.

## 1. Волны Кельвина

Запишем линейную систему уравнений мелкой воды [3] в декартовой системе координат  $(x, y, z)$  с направленной вверх осью  $z$ :

$$\partial_t u^* - f v^* = -g \partial_x \eta^*, \quad (1)$$

$$\partial_t v^* + f u^* = -g \partial_y \eta^*, \quad (2)$$

$$\partial_t \eta^* + H(\partial_x u^* + \partial_y v^*) = 0. \quad (3)$$

Здесь и далее  $t$  — время;  $u^*$  и  $v^*$  — компоненты вектора скорости по направлениям  $x$  и  $y$ ;  $g$  — ускорение свободного падения;  $\eta^*$  — превышение уровня жидкости над его невозмущенным положением;  $\partial_s F$  — частная производная функции  $F$  по переменной  $s$ . Пусть жидкость находится в бассейне с одной прямой вертикальной стенкой и глубиной  $H > 0$  при  $x \leq 0$ . Значения глубины  $H$  и параметра Кориолиса  $f$  полагаем постоянными. Пусть  $f > 0$ . Запишем условие отсутствия потока через стенку:

$$u^*|_{x=0} = 0. \quad (4)$$

Известно, что для системы (1)–(3) с краевым условием (4) решением типа волны, захваченной вращением у вертикальной стенки, является волна Кельвина [5]:

$$(v^*, \eta^*) = \left( \sqrt{\frac{g}{H}}, 1 \right) \eta_A \exp \left( \frac{fx}{\sqrt{gH}} + if\omega_K t - ik^* y \right), \quad u^* \equiv 0, \quad x \leq 0, \quad (5)$$

где  $\omega_K$  — безразмерная частота;  $k^*$  — волновое число,  $k^* = 2\pi/\lambda^*$ ;  $\lambda^*$  — длина волны;  $\eta_A$  — множитель. Амплитуда волны Кельвина экспоненциально убывает при удалении от берега. Это убывание характеризуется горизонтальным масштабом

$$R^* = \frac{\sqrt{gH}}{f}, \quad (6)$$

который называется радиусом деформации Россби. Фазовые скорости  $c_K$  волн Кельвина совпадают с групповыми скоростями,

$$c_K = \frac{f\omega_K}{k^*}, \quad \omega_K = \frac{k^*}{f} \sqrt{gH}. \quad (7)$$

Отметим, что в стационарном случае система (1)–(3) переходит в вырожденную систему уравнений геострофики:

$$-f v_g = -g \partial_x \eta_g, \quad f u_g = -g \partial_y \eta_g, \quad (8)$$

$$\partial_x u_g + \partial_y v_g = 0; \quad (9)$$

краевое условие (4) можно представить в следующем виде:

$$\partial_y \eta_g|_{x=0} = 0. \quad (10)$$

Пусть задано произвольное гладкое распределение  $\eta_g$ , удовлетворяющее условию (10); компоненты  $u_g$  и  $v_g$  стационарного решения вычисляются с помощью уравнений (8).

## 2. Разностные уравнения и краевые условия

Пусть система уравнений (1)–(3) решается разностным методом на сетке типа  $B$  (рис. 1,  $a$ ), по классификации Аракавы [2]. Сеточные переменные размещаются на прямоугольных подсетках с координатами узлов

$$x_m = \Delta_x(m - M), \quad y_n = \Delta_y n, \quad \Delta_x = r\Delta, \quad \Delta_y = \Delta, \quad \Delta > 0, \quad (11)$$

где  $m$  и  $n$  — индексы узлов,

$$0 < r \leq 1. \quad (12)$$

В узлах с целыми индексами расположены компоненты скорости  $u$  и  $v$ , в узлах с “полуцелыми” индексами —  $\eta$ . Будем использовать обозначение  $F_{m,n} = F(x_m, y_n)$ . Запишем пространственную разностную аппроксимацию уравнений (1)–(3) [2]:

$$\partial_t u - fv = -g\delta_x \bar{\eta}^y, \quad (13)$$

$$\partial_t v + fu = -g\delta_y \bar{\eta}^x, \quad (14)$$

$$\partial_t \eta + H(\delta_x \bar{u}^y + \delta_y \bar{v}^x) = 0, \quad (15)$$

где разностные операторы определены следующим образом:

$$\delta_x F(x, y) = \Delta_x^{-1} (F(x + \Delta_x/2, y) - F(x - \Delta_x/2, y)), \quad (16)$$

$$\delta_y F(x, y) = \Delta_y^{-1} (F(x, y + \Delta_y/2) - F(x, y - \Delta_y/2)), \quad (17)$$

$$\bar{F}^x(x, y) = \frac{1}{2} (F(x + \Delta_x/2, y) + F(x - \Delta_x/2, y)), \quad (18)$$

$$\bar{F}^y(x, y) = \frac{1}{2} (F(x, y + \Delta_y/2) + F(x, y - \Delta_y/2)). \quad (19)$$

На твердой границе находятся узлы  $\eta$  (рис. 1,  $b$ ). В фиктивных узлах, расположенных на расстоянии  $\Delta_x/2$  от границы, положим

$$u_{M,n} = -u_{M-1,n}, \quad v_{M,n} = v_{M-1,n}. \quad (20)$$

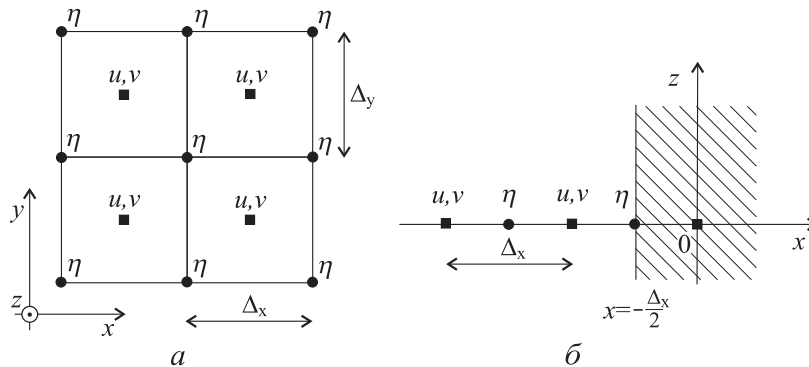


Рис. 1. Расположение узлов и границы:  $a$  — размещение узлов  $u$ ,  $v$ ,  $\eta$  на сетке  $B$ ;  $b$  — граница в узлах  $\eta$

Такие условия применяют для реализации “свободного скольжения” на стенке [4]. Всем узлам на границе припишем уравнение (15), которое с учетом (20) принимает вид

$$\partial_t \eta_{M-1/2, n+1/2} + H (\delta_y v - 2 \Delta_x^{-1} \bar{u}^y)_{M-1, n+1/2} = 0. \quad (21)$$

Таким образом, можно считать, что краевые условия описываются уравнением (21).

Решения системы (13)–(15) с краевым условием (21) будем искать в виде распространяющихся вдоль берега сеточных захваченных волн:

$$(u, v, \eta)_{m, n} = (u_0, v_0, \eta_0) \xi^{m-M} \exp(i f \omega t - i k n), \quad m < M, \quad (22)$$

$$|\xi| > 1, \quad (23)$$

$$k = k^* \Delta, \quad (24)$$

$$0 < k \leq \pi. \quad (25)$$

Здесь  $k$  — безразмерное волновое число. Сеточную волну называют двухшаговой, когда  $\lambda^* = 2\Delta$  и, следовательно,  $k = \pi$ . Если решение вида (22) при неограниченном измельчении шага сетки стремится к решению (5), (7) исходной дифференциальной задачи, такое решение будем называть “сеточной” волной Кельвина. Подставив (22) в (13)–(15), получим:

$$i u_0 r \sqrt{\xi} f \omega \Delta - v_0 r \sqrt{\xi} f \Delta + \eta_0 (\xi - 1) g \cos \frac{k}{2} = 0, \quad (26)$$

$$u_0 \sqrt{\xi} f \Delta + i v_0 \sqrt{\xi} f \omega \Delta - i \eta_0 (1 + \xi) g \sin \frac{k}{2} = 0, \quad (27)$$

$$u_0 H (\xi - 1) \cos \frac{k}{2} - i v_0 r H (1 + \xi) \sin \frac{k}{2} + i \eta_0 r \sqrt{\xi} f \omega \Delta = 0. \quad (28)$$

Запишем три вспомогательных соотношения:

$$\left( (1 - \xi) \cos \frac{k}{2} + r \omega (1 + \xi) \sin \frac{k}{2} \right) u_0 + i \left( \omega (1 - \xi) \cos \frac{k}{2} + r (1 + \xi) \sin \frac{k}{2} \right) v_0 = 0, \quad (29)$$

$$\sqrt{\xi} f \Delta r (1 - \omega^2) v_0 + \left( (1 - \xi) \cos \frac{k}{2} + r \omega (1 + \xi) \sin \frac{k}{2} \right) g \eta_0 = 0, \quad (30)$$

$$i \left( (1 - \xi^2) R^2 \sin k + 2 r \xi \omega \right) r v_0 + \left( R^2 (1 - \xi)^2 (1 + \cos k) + 2 \xi \omega^2 r^2 \right) u_0 = 0. \quad (31)$$

Уравнения (29) и (30) получены путем исключения переменных  $\eta_0$  и  $u_0$  из (26) и (27), уравнение (31) — исключением  $\eta_0$  из (26) и (28).

Систему уравнений (26)–(28) представим в матричном виде. Здесь и далее столбец переменных —  $(u_0, v_0, \eta_0)^T$ . Приравняв нулю детерминант матрицы коэффициентов, получим

$$\omega \left( (\omega^2 - 1) r^2 - \frac{1}{2} \beta_1 + \frac{1}{4} \left( \xi + \frac{1}{\xi} \right) \beta_2 \right) = 0, \quad (32)$$

где  $R$  — безразмерный радиус деформации Россби

$$R = \frac{R^*}{\Delta} = \frac{\sqrt{gH}}{f\Delta}, \quad (33)$$

$$\beta_1 = 2 R^2 (1 + r^2 + \cos k - r^2 \cos k), \quad (34)$$

$$\beta_2 = 2 R^2 (1 - r^2 + \cos k + r^2 \cos k). \quad (35)$$

### 3. Сеточные захваченные волны

В уравнение (21) подставим выражения для функций  $u, v$  и  $\eta$  из (22):

$$2u_0 H \cos \frac{k}{2} + 2iv_0 H r \sin \frac{k}{2} - i\sqrt{\xi} f \omega r \Delta \eta_0 = 0. \quad (36)$$

Систему уравнений (26), (28) и (36) представим в матричном виде и приравняем нулю детерминант матрицы коэффициентов. Получим

$$(r\omega \sin k - 2R^2 \sin^2 k + (1 - \cos k) r^2 \omega^2) \xi - (1 - \cos k) r^2 \omega^2 + 2R^2 \sin^2 k + r\omega \sin k = 0. \quad (37)$$

Систему уравнений (27), (28) и (36) представим в матричном виде и приравняем нулю детерминант матрицы коэффициентов. Получим

$$((r\omega - 2R^2 \sin k)(1 - \cos k) + \omega^2 \sin k) \xi - (r\omega + 2R^2 \sin k)(1 - \cos k) + \omega^2 \sin k = 0. \quad (38)$$

Уравнение (37) умножим на  $1 - \cos k$  и вычтем из него уравнение (38), умноженное на  $\sin k$ . Из полученного уравнения выразим  $\xi$ :

$$\xi = \frac{4R^2 r \omega \sin k + 8R^4 \sin^2 k - \omega^2 \beta_1}{\omega^2 \beta_2}. \quad (39)$$

Исключив из (37) и (38) переменную  $\xi$ , получим

$$\sin k (r^2 \omega^4 - (\beta_1 + r^2) \omega^2 + 4R^4 \sin^2 k) = 0. \quad (40)$$

Пусть выполняется уравнение

$$r^2 \omega^4 - (\beta_1 + r^2) \omega^2 + 4R^4 \sin^2 k = 0, \quad (41)$$

решениями которого являются

$$\omega_1 = \frac{1}{r\sqrt{2}} \sqrt{\beta_1 + r^2 - \beta_3}, \quad (42)$$

$$\omega_2 = -\frac{1}{r\sqrt{2}} \sqrt{\beta_1 + r^2 + \beta_3}, \quad (43)$$

$$\omega_{3,4} = \mp \frac{1}{r\sqrt{2}} \sqrt{\beta_1 + r^2 \mp \beta_3}, \quad (44)$$

где

$$\beta_3 = \sqrt{(\beta_1 + r^2)^2 - 16r^2 R^4 \sin^2 k}. \quad (45)$$

В (44) и далее верхний знак в выражении в правой части соответствует первому значению индекса в левой части, нижний знак — второму значению индекса. Подставив выражения для  $\omega$  из (42)–(44) в (39), получим выражения для  $\xi$ , которые можно привести к следующему виду:

$$\xi_1 = \frac{1}{\beta_2} \left( r^2 + \beta_3 + r\sqrt{2} \sqrt{\beta_1 + r^2 + \beta_3} \right), \quad (46)$$

$$\xi_2 = \frac{1}{\beta_2} \left( r^2 - \beta_3 - r\sqrt{2}\sqrt{\beta_1 + r^2 - \beta_3} \right), \quad (47)$$

$$\xi_{3,4} = \frac{1}{\beta_2} \left( r^2 \pm \beta_3 \mp r\sqrt{2}\sqrt{\beta_1 + r^2 \pm \beta_3} \right). \quad (48)$$

Запишем некоторые вспомогательные соотношения, которые следуют из определений (34), (35) и (45) при условиях (12) и (25):

$$\beta_1 > 0, \quad \beta_1^2 = \beta_2^2 + 16 R^4 r^2 \sin^2 k, \quad \beta_3 = \sqrt{r^4 + 2 r^2 \beta_1 + \beta_2^2}. \quad (49)$$

С применением (49) получаем следующие результаты:

$$\xi_1 \xi_3 = 1, \quad \xi_2 \xi_4 = 1, \quad |\xi_1| > 1, \quad (50)$$

$$|\xi_2| \geq \frac{\beta_3 - r^2}{|\beta_2|} \geq \frac{\sqrt{r^4 + 2 r^2 |\beta_2| + \beta_2^2} - r^2}{|\beta_2|} = 1, \quad \xi_2|_{k=\pi} = 1. \quad (51)$$

Из (50) и (51) следует, что для решений 3 и 4 условие (23) не выполняется и требуется рассмотреть только решение 1, определяемое соотношениями (42) и (46), и решение 2, определяемое (43) и (47), при  $0 < k < \pi$ . Отметим, что уравнение (32) выполняется при подстановке решения 1 или решения 2. Можно показать, что функция  $\omega_1(k)$  достигает максимума в единственной точке  $k = k_0$ :

$$\left. \frac{\partial \omega_1}{\partial k} \right|_{k=k_0} = 0, \quad \cos k_0 = -\frac{2 R^2 (1 - r^2)}{2 R^2 r^2 + r^2 + 2 R^2 + r\sqrt{4 R^2 r^2 + r^2 + 4 R^2}}. \quad (52)$$

Графики функций  $\omega(k)$ ,  $\omega(k)/\omega_K(k)$  и  $\xi(k)$  для решений 1 и 2 при  $R = 1$ ,  $r = 1/3$  представлены на рис. 2, а, б и в соответственно. Графики функций  $u_0/(iv_0)$ ,  $\text{Re}(\eta_0/v_0) \times \sqrt{g/H}$  и  $\text{Im}(\eta_0/v_0) \sqrt{g/H}$  представлены на рис. 3, а, б и в соответственно. Цифра 1 или 2 у кривой соответствует номеру решения. Значения функций, представленных на рис. 3, вычислены с применением (29) и (30).

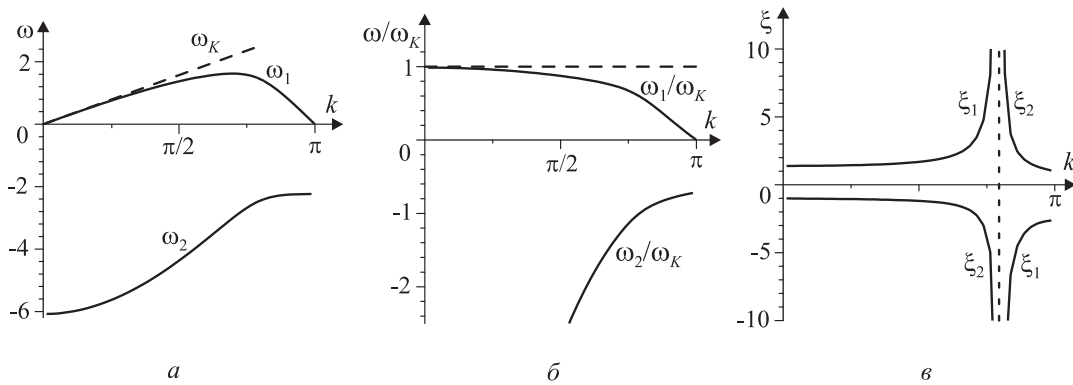


Рис. 2. Графики  $\omega(k)$ ,  $\omega(k)/\omega_K(k)$  и  $\xi(k)$  при  $R = 1$ ,  $r = 1/3$

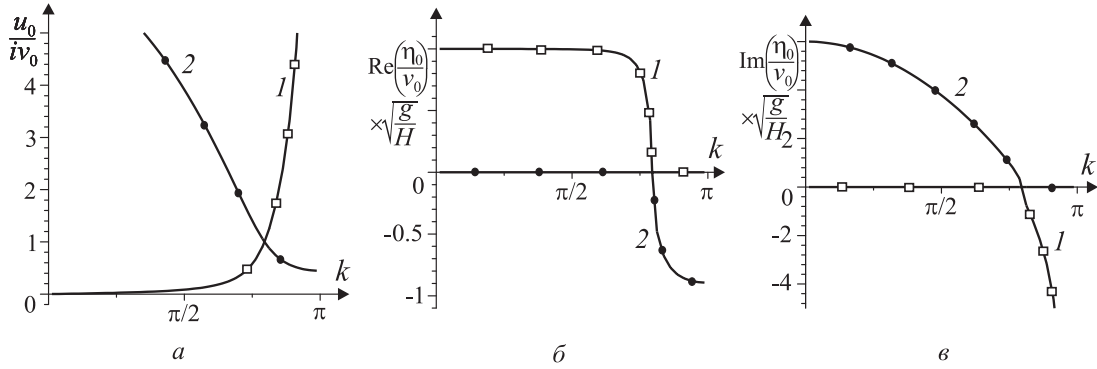


Рис. 3. Графики функций  $u_0/(iv_0)$ ,  $\operatorname{Re}(\eta_0/v_0) \sqrt{g/H}$  и  $\operatorname{Im}(\eta_0/v_0) \sqrt{g/H}$  при  $R = 1$ ,  $r = 1/3$

У решений  $\xi_1$  и  $\xi_2$  есть особенность при  $\beta_2 = 0$ . На рис. 2, в этом случае соответствует вертикальная штриховая линия. Обратимся к исходным уравнениям и предположим, что при  $\beta_2 = 0$  решение существует в следующем виде:

$$\begin{cases} (u_{M-1,n}, v_{M-1,n}) = (u_1, v_1) \exp(if\omega t - kn), \\ \eta_{M-1/2, n+1/2} = \eta_1 \exp(if\omega t - ik(n + 1/2)), \\ u_{m,n} = v_{m,n} = \eta_{m+1/2, n+1/2} = 0, \quad m < M - 1. \end{cases} \quad (53)$$

Подставив выражения из (53) в (13) и (14) при  $m = M - 1$ , в (15) — при  $m = M - 3/2$  и в (21) соответственно, получим систему линейных уравнений для  $u_1, v_1$  и  $\eta_1$ :

$$iu_1 f \omega r \Delta - v_1 f r \Delta + \eta_1 g \cos \frac{k}{2} = 0, \quad (54)$$

$$u_1 \Delta f + iv_1 \Delta f \omega - i\eta_1 g \sin \frac{k}{2} = 0, \quad (55)$$

$$u_1 \cos \frac{k}{2} - iv_1 r \sin \frac{k}{2} = 0, \quad (56)$$

$$-2u_1 H \cos \frac{k}{2} - 2v_1 i H r \sin \frac{k}{2} + i\eta_1 f \omega r \Delta = 0. \quad (57)$$

Запишем условие линейной независимости уравнений (54)–(56):

$$1 - r^2 + (1 + r^2) \cos k = 0 \quad (\beta_2 = 0). \quad (58)$$

Отметим, что, подставив в (35) выражение для  $\cos k$  из (58), получим  $\beta_2 = 0$ . Условие линейной независимости уравнений (54), (56) и (57) можно представить в виде квадратного уравнения для  $\omega$ :

$$\omega^2 (1 + r^2) + \omega (1 + r^2) - 4R^2 = 0, \quad \beta_2 = 0. \quad (59)$$

С применением (58) преобразуем уравнение (41) к следующему виду:

$$(\omega^2 (1 + r^2) + \omega (1 + r^2) - 4R^2) (\omega^2 (1 + r^2) - \omega (1 + r^2) - 4R^2) = 0, \quad \beta_2 = 0. \quad (60)$$

Очевидно, что решения уравнения (59) совпадают с двумя решениями (60). Этими двумя решениями являются  $\omega_1|_{\beta_2=0}$  и  $\omega_2|_{\beta_2=0}$ :

$$\omega_{1,2}|_{\beta_2=0} = \pm \frac{\sqrt{r^2 + 8R^2 + 1 \mp \sqrt{1 + r^2 + 16R^2}\sqrt{1 + r^2}}}{\sqrt{2}\sqrt{1 + r^2}} = \pm \frac{\sqrt{1 + r^2 + 16R^2}}{2\sqrt{1 + r^2}} - \frac{1}{2}. \quad (61)$$

Покажем, что решение 1 при неограниченном измельчении шага сетки стремится к решению (5), (7). В (29) и (30) подставим выражения (42) и (46) для  $\omega$  и  $\xi$ . В полученные уравнения подставим выражения (24) и (33) для  $k$  и  $R$ . Полагаем, что  $k^*$  не зависит от  $\Delta$ . Находим пределы

$$\lim_{\Delta \rightarrow 0} \frac{u_0}{v_0} \Big|_{\omega=\omega_1, \xi=\xi_1} = 0, \quad \lim_{\Delta \rightarrow 0} \frac{\eta_0}{v_0} \Big|_{\omega=\omega_1, \xi=\xi_1} = \sqrt{\frac{H}{g}}. \quad (62)$$

Далее находим пределы

$$\lim_{\Delta \rightarrow 0} \omega_1 = \frac{\sqrt{gH}}{f} k^*, \quad \lim_{\Delta \rightarrow 0} \xi_1^{m-M} = \lim_{\Delta \rightarrow 0} \xi_1^{x_m/(r\Delta)} = \exp\left(\frac{fx}{\sqrt{gH}}\right), \quad (63)$$

где  $\omega_1$  и  $\xi_1$  определены в (42) и (46) и предполагается, что  $x_m = x$  и  $k^*$  не зависят от  $\Delta$ . Из (62) и (63) следует, что при  $\Delta \rightarrow 0$  решение 1 переходит к пределу, совпадающему с (5), (7).

При неограниченном измельчении шага сетки в направлении по нормали к границе решение  $\omega_1$  стремится к  $\omega_G$  — известному решению для чисто гравитационной волны на одномерной сетке с “разнесенными” узлами:

$$\lim_{r \rightarrow 0} \omega_1 = \omega_G, \quad \lim_{r \rightarrow 0} \xi_1^{m-M} = \lim_{r \rightarrow 0} \xi_1^{x_m/(r\Delta)} = \exp\left(\frac{\sqrt{2}fx}{\sqrt{gH}(1 + \cos k)}\right), \quad (64)$$

$$\omega_G = 2 \frac{\sqrt{gH}}{\Delta f} \sin \frac{k^* \Delta}{2}. \quad (65)$$

При исследовании зависимости решения 1 от сеточных параметров получены неравенства

$$\frac{\partial \omega_1}{\partial \Delta} \Big|_{0 < k \leq 0} < 0, \quad (66)$$

$$\frac{\partial \omega_1}{\partial r} \Big|_{0 < k < 0} < 0. \quad (67)$$

Кратко изложим доказательство неравенства (66). В (42) последовательно подставим выражения для  $\beta_3$  из (45), для  $\beta_1$  из (34), для  $k$  и  $R$  из (24) и (33), продифференцируем по  $\Delta$  и представим в следующем виде:

$$\frac{\partial \omega_1}{\partial \Delta} = A_1 (8R^4 r^2 \sin k (k \cos k - 2 \sin k) - (\beta_1 + R^2 k \sin k (1 - r^2)) (\beta_3 - \beta_1 - r^2)), \quad (68)$$

где

$$A_1 = \frac{1}{r\Delta \beta_3 \sqrt{2}\sqrt{\beta_1 + r^2 - \beta_3}} > 0, \quad 0 < k < \pi. \quad (69)$$

Производную при  $k = \pi$ ,  $\Delta = \Delta_1$  определим как предел следующего отношения:

$$\left. \frac{\partial \omega_1}{\partial \Delta} \right|_{k=\pi} = \lim_{\Delta_2 \rightarrow \Delta_1 - 0} \frac{\omega_1|_{\Delta=\Delta_1, k^*=\pi/\Delta_1} - \omega_1|_{\Delta=\Delta_2, k^*=\pi/\Delta_1}}{\Delta_1 - \Delta_2} = -2 \frac{R_1^2 \pi}{r \Delta_1 \sqrt{4 R_1^2 + 1}} < 0, \quad (70)$$

где  $R_1 = \sqrt{gH}/(f\Delta_1)$ . Частная производная в (70) вычисляется при фиксированной длине волны  $\lambda^* = 2\pi/k^* = 2\Delta_1 > 2\Delta_2$ .

Получим верхнюю оценку для правой части (68). Отметим, что  $\beta_3$  входит в правую часть уравнения (68) с отрицательным множителем. Поэтому при оценке правой части (68)  $\beta_3$  можно заменить нижней оценкой. Запишем вспомогательные соотношения:

$$\beta_3 > r^2 + |\beta_2|, \quad 0 < k < \pi; \quad (71)$$

$$1 - \cos k - \frac{k}{2} \sin k > 0, \quad 0 < k < \pi. \quad (72)$$

Рассмотрим два случая.

1. Пусть  $\beta_2 \geq 0$ . При выводе неравенства заменим  $\beta_3$  на  $r^2 + \beta_2 + C$ , где  $C$  — некоторая положительная константа,  $C > 0$ . С учетом (34), (35) и (72) получим

$$\left. \frac{\partial \omega_1}{\partial \Delta} \right|_{\beta_2 \geq 0} \leq -4\beta_2 A_1 R^2 r^2 \left( 1 - \cos k - \frac{k}{2} \sin k \right) - A_1 C (\beta_1 + R^2 k \sin k (1 - r^2)) < 0. \quad (73)$$

2. Пусть  $\beta_2 < 0$ . Теперь заменим  $\beta_3$  на  $r^2 - \beta_2$  и с учетом (34), (35) и (25) получим

$$\left. \frac{\partial \omega_1}{\partial \Delta} \right|_{\beta_2 < 0} \leq 2\beta_2 A_1 R^2 (2 + 2 \cos k + k \sin k) < 0. \quad (74)$$

Из (70), (73) и (74) следует (66) и можно сделать вывод, что решение  $\omega_1$  монотонно стремится к  $\omega_K$  с уменьшением  $\Delta$ .

Теперь докажем неравенство (67). В (42) последовательно подставим выражения для  $\beta_3$  из (45) и для  $\beta_1$  из (34). Результат продифференцируем по  $r$  и представим в следующем виде:

$$\frac{\partial \omega_1}{\partial r} = A_2 (r^2 + \beta_2 - \beta_3), \quad (75)$$

где

$$A_2 = \frac{\sqrt{2} R^2 (1 + \cos k)}{r^2 \beta_3 \sqrt{\beta_1 + r^2 - \beta_3}} > 0. \quad (76)$$

Воспользовавшись вспомогательным неравенством (71), получим (67). Из (67) следует, что  $\omega_1$  монотонно стремится к  $\omega_G$  при уменьшении параметра  $r$ . Отметим, что  $\omega_1 = 0$  при  $k = \pi$ , поэтому

$$\left. \frac{\partial \omega_1}{\partial r} \right|_{k=\pi} = 0. \quad (77)$$

Рассмотрим случай, когда  $k = \pi$ . Представим в матричном виде систему уравнений (27), (28) и (36) при  $k = \pi$ . Приравняв нулю детерминант матрицы коэффициентов, получим

$$\omega \xi f^2 \Delta^3 r^2 H (\xi - 1) = 0. \quad (78)$$

Уравнение (78) выполняется только при  $\omega = 0$ . Подставим  $\omega = 0$  и  $k = \pi$  в уравнения (26)–(28) и (36). Из четырех полученных уравнений три уравнения совпадают. Результат можно записать в следующем виде:

$$\left(\sqrt{\xi} f u_0 \Delta - i g (\xi + 1) \eta_0\right)_{k=\pi} = 0, \quad v_0|_{k=\pi} = 0, \quad \omega|_{k=\pi} = 0. \quad (79)$$

Из (79) следует, что решения существуют при любом  $\xi$ , удовлетворяющем условию (25). Например, можно положить  $\xi = \xi_1|_{k=\pi} < 1$ . По-видимому, такие стационарные решения следует трактовать как сеточные двухшаговые захваченные волны, поскольку на границе не выполняется разностный аналог условия (10).

## Заключение

В работе построены решения типа захваченных волн для системы дифференциально-разностных уравнений, представляющих собой пространственную разностную аппроксимацию линейных уравнений мелкой воды, и исследованы зависимости полученных решений от параметров сетки. Показано, что решение 1, определяемое соотношениями (42) и (46), при неограниченном дроблении шага сетки монотонно стремится к решению типа волны Кельвина исходной дифференциальной задачи. При неограниченном измельчении шага сетки только в направлении по нормали к границе, частота решения 1 монотонно стремится к частоте чисто гравитационной волны на одномерной сетке с “разнесенными” узлами. Решение 2, определяемое (43) и (47), характеризуется отрицательной фазовой скоростью и, следовательно, является чисто вычислительным решением. По-видимому, его необходимо отфильтровывать или подавлять. Важная особенность решения 2 — высокая частота во всем диапазоне длин волн. Решение такого вида отсутствует в работе [4], где предполагается геострофическое равновесие для продольной компоненты скорости.

У решения 1 поперечная компонента не равна нулю (см. рис. 3, а), отсутствует единый для всех длин волн масштаб экспоненциального убывания амплитуды при удалении от стенки, а при  $\xi_1 < -1$  от узла к узлу изменяется даже знак амплитуды (рис. 3, в). Поскольку решение 1 не обладает отличительными свойствами волны Кельвина, для него целесообразно применять термин “сеточная” волна Кельвина. Предположим теперь, что при  $x = x_1$  некоторая совокупность “сеточных” волн Кельвина образует волновой пакет. При  $x = x_2 \neq x_1$  структура волнового пакета нарушается, поскольку амплитуда каждой волны в этой совокупности изменилась индивидуально — как функция длины волны. По-видимому, рассматривать распространение волновых пакетов можно только для совокупностей “сеточных” волн Кельвина с относительно близкими значениями  $\xi$ .

Следует отметить, что исходная система дифференциальных уравнений записана в линейном приближении и не содержит диссипативных слагаемых, а геометрия бассейна предельно упрощена. Применительно к анализу разностной схемы результаты работы носят качественный характер. Полученные аналитические решения могут быть применены в разработке и анализе вычислительных условий на жидких границах, при интерпретации результатов вычислительных экспериментов, например, по расчету бароклинного отклика океана на крупномасштабное воздействие при наличии берега, когда в модельном бассейне узкий шельф и резкий материковый склон заменены вертикальной стенкой.

## Список литературы

- [1] МАРЧУК Г.И., ДЫМНИКОВ В.П., ЗАЛЕСНЫЙ В.Б. Математические модели в геофизической гидродинамике и численные методы их реализации. Л.: Гидрометеоиздат, 1987. 296 с.
- [2] МЕЗИНГЕР Ф., АРАКАВА А. Численные методы, используемые в атмосферных моделях: пер. с англ. Л.: Гидрометеоиздат, 1979. 136 с.
- [3] ВОЛЬЦИНГЕР Н.Е., ПЯСКОВСКИЙ Р.В. Теория мелкой воды. Океанологические задачи и численные методы. Л.: Гидрометеоиздат, 1977. 208 с.
- [4] HSIEN W.W., DAVEY M.K., WAJSOWICS R.S. The free Kelvin wave in finite-difference numerical models // J. of Phys. Oceanogr. 1983. Vol. 13, N 8. P. 1383–1397.
- [5] ГИЛЛ А. Динамика атмосферы и океана: пер. с англ. В 2 т. М.: Мир, 1986. 815 с.
- [6] BRYAN K. A numerical method for the study of the circulation of the world ocean // J. Comput. Phys. 1969. Vol. 4. P. 347–376.
- [7] ДИАНСКИЙ Н.А., БАГНО А.В., ЗАЛЕСНЫЙ В.Б. Сигма-модель глобальной циркуляции океана и ее чувствительность к вариациям напряжения трения ветра // Изв. РАН. Физика атмосферы и океана. 2002. Т. 38, № 4. С. 537–556.

*Поступила в редакцию 1 июня 2004 г.,  
в переработанном виде — 22 августа 2007 г.*